



## بررسی ویژگی‌های ساختاری و الکتریکی نانوکامپوزیت‌های دورگه‌ی $\text{Al}_2\text{O}_3/\text{PVP}$ (به عنوان درگاه دی الکتریک ترانزیستورهای اثر میدانی آلی)

سید باقر سلطانی<sup>۱</sup>، منوچهر بابایی پور<sup>۱\*</sup>، علی بهاری<sup>۲</sup>

۱- گروه فیزیک، دانشگاه بوعلی سینا، همدان، ایران

۲- گروه فیزیک حالت جامد، دانشگاه مازندران، بابل، ایران

(دریافت مقاله: ۹۴/۱۱/۳، نسخه نهایی: ۹۵/۴/۱۹)

**چکیده:** نمونه‌های پودری نانوکامپوزیت دورگه‌ای  $\text{Al}_2\text{O}_3/\text{PVP}$  به روش سل-ژل در دمای ۸۰ درجه‌ی سانتی‌گراد سنتز شده‌اند. درصد وزنی پلی وینیل فنول و اکسید آلومینیوم برابر صفر، ۰/۲۸، ۰/۵۶ و ۰/۸۴ بوده است. برای بررسی ویژگی‌های نانوساختاری از روش فرپراشی پرتو ایکس، بیناب‌سنجی تبدیل فوریه فروسرخ، میکروسکوپ الکترونی روبشی، و میکروسکوپ نیروی اتمی استفاده شد. ثابت دی الکتریک نمونه‌ها با استفاده از روش GPS 132 A محاسبه شدند. برپایه‌ی نتایج بدست آمده بالاترین مقدار ثابت دی الکتریک در بسامد ۱۲۰ کیلوهرتز وابسته به نمونه‌ی ریزنهشته با ترکیب وزنی ۰/۲۸ درصد از  $\text{PVP}$  ( $k = ۳۵$ ) و در بسامد ۱ کیلوهرتز وابسته به نمونه‌ی ریزنهشته با ترکیب وزنی ۰/۵۶ درصد از  $\text{PVP}$  ( $k = ۲۶$ ) است. بنابراین در فرکانس ۱۲۰ کیلوهرتز، نمونه‌ی ریزنهشته با ترکیب وزنی ۰/۲۸ درصد از  $\text{PVP}$  به سبب برخورداری از ضخامت معادل اکسیدی بالاتر، میزان زبری کمتر، خواص اهمی و I-V بهتر و کوچکی اندازه ریزبلورک‌ها (قطر شِر برابر با ۴۵ nm)، و ثابت دی الکتریک بالاتر و در نتیجه جریان نشتی کمتر، به عنوان درگاه دی الکتریک در ترانزیستورهای اثر میدانی توصیه می‌شوند.

**واژه‌های کلیدی:** ریزنهشته؛ ترانزیستور اثر میدانی آلی؛ درگاه دی الکتریک؛ روش سل-ژل.

### مقدمه

در قطعات نانوالکترونیکی و نانواپتوالکترونیکی، به ویژه در ترانزیستورهای اثر میدانی با مبنای سیلیکونی، ضخامت درگاه دی الکتریک تا حدود ۱ تا ۲ نانومتر رسیده است که با مشکلاتی همچون افزایش تونل زنی کوانتومی، افزایش جریان نشتی و نفوذ اتم‌های سبک بور از درگاه دی الکتریک فرانازک رو به رو است و به پیروی از این عوامل موجب کاهش کارایی ترانزیستور می‌شوند. از این رو معماری جدیدی برای ترانزیستورهای اثر میدانی مطرح شد [۱-۶]. در این ارتباط برخی محققان مواد متعددی با ثابت دی الکتریک بالا، همچون  $\text{La}_2\text{O}_3$ ،  $\text{Al}_2\text{O}_3$ ،  $\text{TiO}_2$ ،  $\text{Ta}_2\text{O}_5$ ،  $\text{HfO}_2$  و  $\text{ZrO}_2$  را به عنوان عایق حائل در

ترانزیستورهای اثر میدانی فلز-اکسید-نیمه رسانا (MOSFET) پیشنهاد کردند [۶-۷]. از طرف دیگر با وجود بالا بودن ثابت دی الکتریک آنها، به دلیل تشکیل یک لایه‌ی میانی ناخواسته‌ی  $\text{SiO}_2$  بین زیرلایه‌ی سیلیکونی و این مواد، نتوانستند جای اکسید سیلیکون را به عنوان درگاه دی الکتریک مناسب بگیرند [۸]. از طرف دیگر، مواد آلی به دلیل ویژگی‌های مختلف الکتریکی، انعطاف پذیر بودن و هزینه کمتر، در کانون توجهات پژوهشگران این عرصه قرار گرفت [۹]. از طرف دیگر این مواد به دلیل دارا بودن ظرفیت خیلی پایین و خاصیت آگریزی بیشتر نسبت به مواد غیرآلی، به تنهایی قابلیت زیادی نداشتند. از این رو دی الکتریک‌های دورگه‌ی آلی-غیرآلی به دلیل ترکیب

\*نویسنده مسئول، تلفن: ۰۹۱۸۳۱۶۵۶۶۲، پست الکترونیکی: babaei@basu.ac.ir

### آزمایش

نمونه‌های نانوکامپوزیت دورگه‌ی  $\text{Al}_2\text{O}_3/\text{PVP}$  به روش سل-ژل سنتز شده‌اند، که در آن تری‌سیک‌بوتوکساید ۹۷٪  $(\text{Al}[\text{OCH}(\text{CH}_3)\text{C}_2\text{H}_5]_3)$  با حلال‌های استیل استن و اتانول به عنوان پیش ماده، برای نانو بلورک‌ها مورد استفاده قرار گرفته‌اند. استیل استن به عنوان حلال پلی وینیل فنول به کار رفته است. ۰/۵ میلی‌لیتر تری‌سیک‌بوتوکساید را در ۵ میلی‌لیتر استیل استن ۹۸٪ و ۵ میلی‌لیتر اتانول ۹۸٪ حل کرده و گذاشتیم تا به مدت ۲ ساعت در دمای اتاق با همزن مغناطیسی بچرخد. همزمان ۰/۴۰ گرم از PVP را در ۵ میلی‌لیتر استیل استن قرار داده، اجازه دادیم تا به مدت ۲ ساعت در دمای اتاق با همزن مغناطیسی چرخیده، و کاملاً حل شود. سپس محلول دوم را به آرامی به محلول اول اضافه کرده و ۲۲ ساعت در دمای اتاق با همزن مغناطیسی چرخید، پس از این مدت، دمای همزن مغناطیسی را در ۱۵۰ درجه‌ی سانتی-گراد تنظیم کرده، و اجازه دادیم تا همچنان بچرخد. محلول پس از ۲ ساعت به ژل تبدیل شد. این نمونه‌ی ژل شده به مدت ۱۵ ساعت در کوره با دمای ۷۰ درجه‌ی سانتی‌گراد خشک و آسیاب شده و به پودر نرمی با رنگ کرم تبدیل شد. بدین ترتیب نمونه‌ی پودری با ترکیب وزنی ۰/۲۸ درصد از  $\text{Al}_2\text{O}_3 + \text{PVP}$  (۰.۲۸ %wt) به دست آمد. آزمایش برای درصد‌های وزنی ۰/۵۶ و ۰/۸۴ نیز به روشی کاملاً مشابه بارها تکرار شده و پودرهایی با مشخصات ظاهری مشابه به دست آمدند. علاوه بر این فرایند، بدون استفاده از پلی وینیل فنول یعنی با صفر درصد PVP نیز تکرار شد.

### بحث و بررسی

شناخت عوامل متعددی که بر پیوندهای شیمیایی و ارتعاش-های خمشی ساختارهای دی الکتریک درگاه مؤثر اهمیت دارد. از این رو طیف FTIR وابسته به پودرهای  $\text{Al}_2\text{O}_3$  و همبافت-های پلیمری  $\text{Al}_2\text{O}_3/\text{PVP}$  بر حسب درصد گذردهی، در شکل ۱ آمده است.

قله‌های متعددی در شکل ۱ مشاهده می‌شوند که با استفاده از کارت استاندارد FTIR شناسایی شدند. قله‌های FTIR در نواحی  $690\text{ cm}^{-1}$ ،  $580$  و  $486$  مربوط به ارتعاش‌های کششی پیوند Al-O هستند. حضور قله‌ها در نواحی  $1596\text{ cm}^{-1}$ ،  $1525$  و

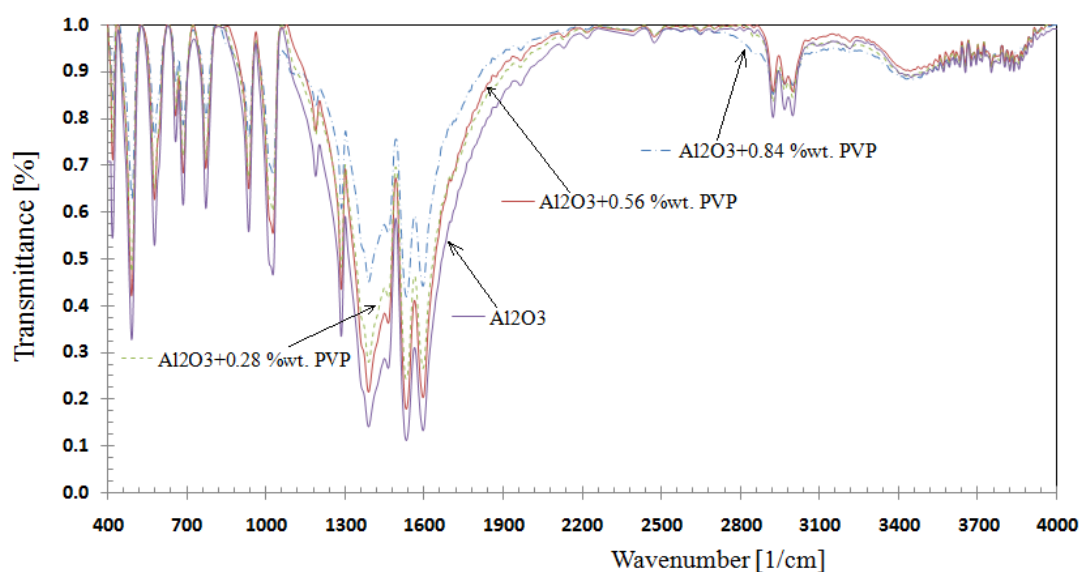
همافزای مثبت و تکمیل کننده، جنبه‌های عملکردی مواد غیرآلی و آلی (تحرك‌پذیری بالای حامل‌های بار نیمه هادی-های غیر آلی و هزینه‌ی پایین تولید مواد آلی و انعطاف‌پذیری مناسب آن‌ها)، مورد توجه قرار گرفتند [۱۰]. برپایه‌ی بسیاری از پژوهشگران [۱۱-۱۴]، درگاه دی‌الکتریک بی شکل، موادی با ثابت دی‌الکتریک بالا، زبری و ناهمواری سطحی کم و تحرك‌پذیری بالا و جریان نشتی پایین می‌توانند به عنوان کاندیدای مواد درگاه دی الکتریکی مطرح شوند. از این رو اطمینان از اینکه لایه‌های ساخته شده دارای ساختارهای بلوری خوش تعریف نباشند سودمند خواهد بود. این برداشت برپایه‌ی XRD تأیید می‌شود. به این دلیل، فازهای بلوری ریزهمنهشتی-های دورگه‌ای از طریق تحلیل‌های XRD بررسی می‌شود. از طرف دیگر، کارایی قطعات ترانزیستورهای اثر میدانی آلی (OFET) به استفاده از دی‌الکتریک‌های پُر بازده‌ای که سطوح فعال را شکل می‌دهند، با چگالی نقص اندک یا سطوح نرم و دارای توپوگرافی و ریخت‌شناسی خوب، بستگی دارد. بنابراین، بررسی میکروسکوپی و ریخت‌شناسی سطح با استفاده از روش-های SEM و AFM به خوبی انجام می‌شود.

علاوه بر این، اخیراً همبستگی زبری سطح و تحرك پذیری در مواد کامپوزیت هیبریدی توسط چوآ و همکارانش مورد بررسی قرار گرفتند [۱۴]. آنها معتقدند که افزایش زبری در سطح منجر به کاهش تحرك‌پذیری OFET می‌شود. از این رو بررسی و اندازه‌گیری زبری متوسط، و ریشه‌ی میانگین مربعات با نرم افزار Nanosurf ضروری است. اکسید آلومینیوم معروف به آلومینا یکی از مهمترین سرامیک‌های الکترونیکی است که کاربردهای صنعتی زیادی از جمله در صنعت میکروالکترونیک و نیز به عنوان یک کاتالیست و یک ماده‌ی دی‌الکتریک دارد، و ثابت دی‌الکتریک آن حدود ۹ است [۹]. از سوی دیگر ماده‌ی آلی پلی وینیل فنول با فرمول  $\text{C}_8\text{H}_8\text{O}$  (فرمول خطی  $[\text{CH}_2\text{CH}(\text{C}_6\text{H}_4\text{OH})]_n$ ) یکی از بهترین‌های این مواد آلی در حوزه‌های زیست‌الکترونیک، مواد دی‌الکتریک و ترانزیستورهای آلی قابل انعطاف است. در این حوزه از همنهشت‌های دو رگه‌ی موادی نظیر اکسید آلومینیوم (غیرآلی) و PVP (آلی) تلاش می‌شود تا امکان معرفی آن به جای اکسید سیلیکون را بررسی کنیم. در این مقاله به بررسی نانوساختاری و ویژگی‌های الکتریکی چنین نمونه‌ها متمرکز شده است.

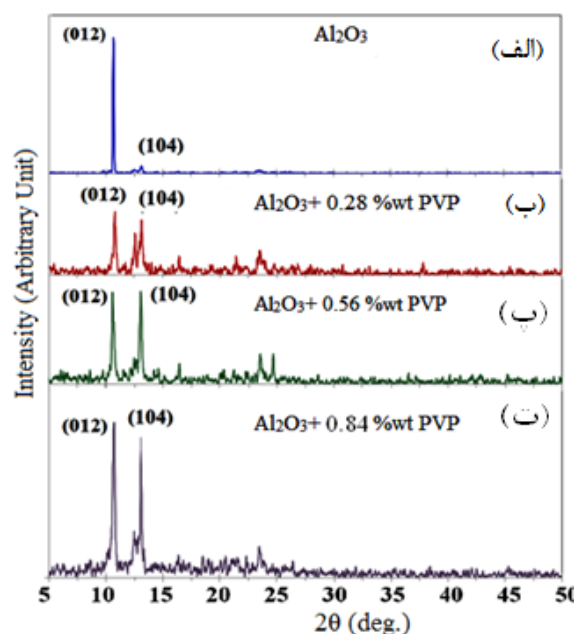
PVP نسبت به بستر  $\text{Al}_2\text{O}_3$  است می‌توان تشکیل نانوکامپوزیت را تأیید کرد.

ساختارهای بلوری و اندازه‌ی نانوبلورک‌ها با استفاده از روش پراش پرتو X (XRD) تعیین می‌شوند. شکل ۲ اثر غلظت PVP بر الگوی پراش نانوهمنهشت‌های دورگه‌ی مورد بررسی را نشان می‌دهد. با زیاد شدن مقدار PVP در همنهشت‌ها، فازهای بس بلوری متفاوتی شکل می‌گیرند.

۱۳۹۴ به ارتعاش خمشی پیوند OH مولکول‌های آب جذب سطحی شده بر روی  $\text{Al}_2\text{O}_3$  وابسته‌اند و حضور قله‌ی پهن در ناحیه  $3440\text{ cm}^{-1}$  نیز به ارتعاش کششی مولکول‌های آب جذب سطحی شده بر روی  $\text{Al}_2\text{O}_3$  وابسته است. چنانکه در این شکل مشاهده می‌شود، تأثیر PVP به صورت کاهش شدت قله‌های جذبی شاخص وابسته به  $\text{Al}_2\text{O}_3$  نمایان شده است. در نتیجه، تنها از روی کاهش شدت قله‌ها که به دلیل افزایش درصد ورنی



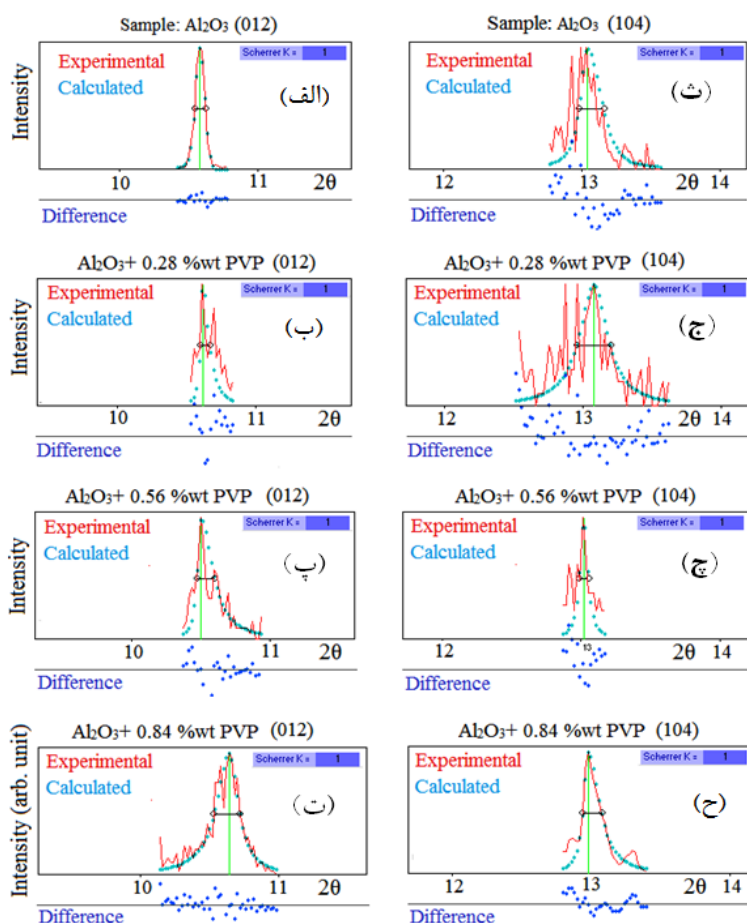
شکل ۱ طیف FTIR مربوط به  $\text{Al}_2\text{O}_3$  و نانو کامپوزیت‌های  $\text{Al}_2\text{O}_3/\text{PVP}$  با نسبت‌های ۰/۲۸، ۰/۵۶ و ۰/۸۴ از PVP.



شکل ۲ الگوهای XRD مربوط به نمونه‌های (الف)  $\text{Al}_2\text{O}_3$ ، (ب)  $\text{Al}_2\text{O}_3 + 0.28\text{ %wt PVP}$ ، (پ)  $\text{Al}_2\text{O}_3 + 0.56\text{ %wt PVP}$ ، (ت)  $\text{Al}_2\text{O}_3 + 0.84\text{ %wt PVP}$ .

چنانکه در شکل‌های ۲ الف تا ۲ ت مشاهده می‌شود، طیف وابسته به نمونه‌ی اکسید آلومینیوم، یک قله شاخص را نشان می‌دهد و ژل تقریباً به صورت تک‌بلور تشکیل شده است. زمانی که PVP تا ۰/۲۸ درصد افزایش می‌یابد، تعداد و شدت قله‌ها تغییر می‌کند. در نمونه ۰/۵۶ درصد PVP همچنان دو فاز وابسته به  $\text{Al}_2\text{O}_3(104)$  و  $\text{Al}_2\text{O}_3(012)$  در حال رشد هستند [۱۵]. در نمونه‌ی ۰/۸۴ درصد، شدت این دو قله زیاد می‌شود ولی در زاویه‌های دیگر همچنان شاهد تشکیل چشمگیری فازی نیستیم. که نشان می‌دهد دمای بلوری ماده افزایش یافته است، و چنانکه پیش از این گفته شد اندازه‌ی دانه‌های بلورک‌ها نیز با استفاده از رابطه شرر تعیین می‌شوند که در آن میانگین اندازه‌ی بلورک‌های

$$D = \frac{K\lambda}{\beta \cos\theta}$$



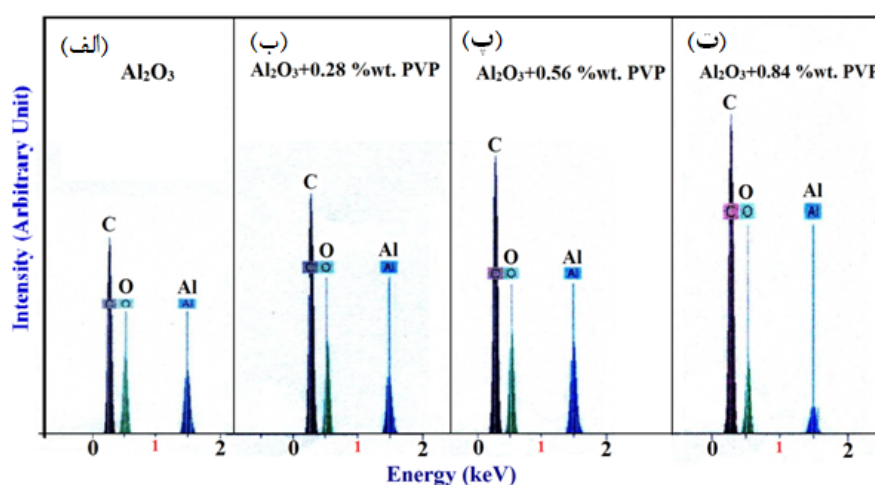
شکل ۳ محاسبه FWHM روی قله‌های متناظر در الگوهای XRD برای (الف) و (ث)  $\text{Al}_2\text{O}_3$  به ترتیب در قله‌های (012) و (104)، (ب) و (ج)  $\text{Al}_2\text{O}_3 + 0.28 \text{ wt PVP}$  به ترتیب در قله‌های (012) و (104)، (پ) و (چ)  $\text{Al}_2\text{O}_3 + 0.56 \text{ wt PVP}$  به ترتیب در قله‌های (012) و (104)، (ت) و (ح)  $\text{Al}_2\text{O}_3 + 0.84 \text{ wt PVP}$  به ترتیب در قله‌های (012) و (104) با استفاده از نرم افزار X-Powder.

جدول ۱ مقادیر FWHM و قطر شرر برای اندازه دانه‌های نانوبلورک‌ها، به دست آمده از قله‌های (012) و (104) در الگوهای XRD برای چهار نمونه  $\text{Al}_2\text{O}_3$ ،  $\text{Al}_2\text{O}_3 + 0.28 \text{ \%wt PVP}$ ،  $\text{Al}_2\text{O}_3 + 0.56 \text{ \%wt PVP}$  و  $\text{Al}_2\text{O}_3 + 0.84 \text{ \%wt PVP}$  با استفاده از نرم افزار X-Powder.

نمونه	FWHM		Scherrer (nm)	
	(012)	(104)	(012)	(104)
$\text{Al}_2\text{O}_3$	۰٫۰۷۳	۰٫۱۷۶	۱۱۰	۴۹
$\text{Al}_2\text{O}_3 + 0.28 \text{ \%wt. PVP}$	۰٫۰۶۰	۰٫۲۴۲	۱۲۹	۳۶
$\text{Al}_2\text{O}_3 + 0.56 \text{ \%wt. PVP}$	۰٫۱۲۴	۰٫۰۵۲	۷۰	۱۳۲
$\text{Al}_2\text{O}_3 + 0.84 \text{ \%wt. PVP}$	۰٫۱۸۸	۰٫۱۳۲	۴۷	۶۵

در شکل‌های ۴ الف تا ت، تحلیل‌های EDX بدست آمده از ریزدورگه‌های همنهشت وجود نانوذرات C، Al و O را تأیید می‌کنند. نتایج تحلیل‌های EDX در جدول ۲ نشان می‌دهند که غلظت (C) در نمونه‌ی  $\text{Al}_2\text{O}_3 + 0.84 \text{ \%wt PVP}$  بیشتر است. از طرف دیگر تصاویر SEM وابسته به نمونه‌های  $\text{Al}_2\text{O}_3$  و درصد‌های مختلف  $\text{Al}_2\text{O}_3/\text{PVP}$  در شکل‌های ۵ الف تا ت هیچ دانه بلور قابل تشخیصی را نشان نمی‌دهد، ولی بر نشانه‌هایی از شکنندگی ترد گونه روی سطح دلالت دارند. چنانکه در تصاویر SEM وابسته به  $\text{Al}_2\text{O}_3$  و نمونه‌های

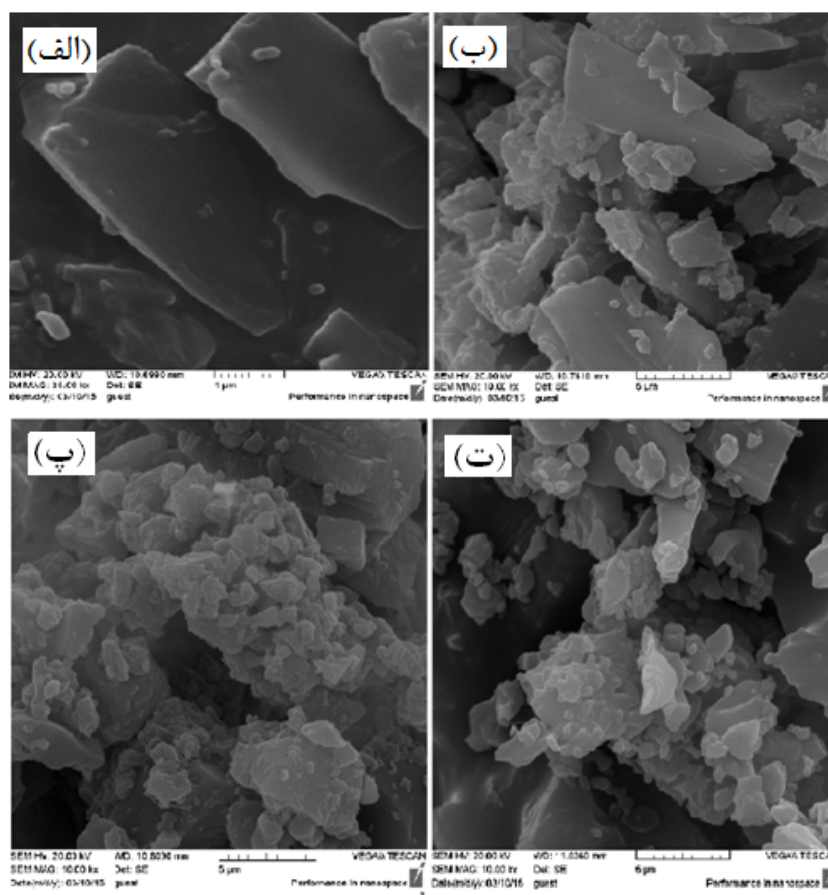
در شکل‌های ۴ الف تا ت، تحلیل‌های EDX بدست آمده از ریزدورگه‌های همنهشت وجود نانوذرات C، Al و O را تأیید می‌کنند. نتایج تحلیل‌های EDX در جدول ۲ نشان می‌دهند که غلظت (C) در نمونه‌ی  $\text{Al}_2\text{O}_3 + 0.84 \text{ \%wt PVP}$  بیشتر است. از طرف دیگر تصاویر SEM وابسته به نمونه‌های  $\text{Al}_2\text{O}_3$  و درصد‌های مختلف  $\text{Al}_2\text{O}_3/\text{PVP}$  در شکل‌های ۵ الف تا ت هیچ دانه بلور قابل تشخیصی را نشان نمی‌دهد، ولی بر نشانه‌هایی از شکنندگی ترد گونه روی سطح دلالت دارند. چنانکه در تصاویر SEM وابسته به  $\text{Al}_2\text{O}_3$  و نمونه‌های



شکل ۴ نتایج EDX برای نمونه‌های (الف)  $\text{Al}_2\text{O}_3$ ، (ب)  $\text{Al}_2\text{O}_3 + 0.28 \text{ \%wt PVP}$ ، (پ)  $\text{Al}_2\text{O}_3 + 0.56 \text{ \%wt PVP}$ ، (ت)  $\text{Al}_2\text{O}_3 + 0.84 \text{ \%wt PVP}$ .

جدول ۲ نتایج EDX برای نمونه‌های (الف)  $\text{Al}_2\text{O}_3$ ، (ب)  $\text{Al}_2\text{O}_3 + 0.28 \text{ \%wt PVP}$ ، (پ)  $\text{Al}_2\text{O}_3 + 0.56 \text{ \%wt PVP}$ ، (ت)  $\text{Al}_2\text{O}_3 + 0.84 \text{ \%wt PVP}$ .

Sample	Series	norm. C[wt. %]				Atom. C[wt. %]			
		C	O	Al	Total (%)	C	O	Al	Total (%)
$\text{Al}_2\text{O}_3$	K series	۴۸٫۵۱	۴۳٫۵۷	۷٫۹۲	۱۰۰	۵۷٫۲۵	۳۸٫۵۹	۴٫۱۶	۱۰۰
$\text{Al}_2\text{O}_3 + 0.28 \text{ \%wt. PVP}$	K series	۵۰٫۵۲	۴۳٫۳۸	۶٫۱۰	۱۰۰	۵۸٫۸۸	۳۷٫۹۶	۳٫۱۶	۱۰۰
$\text{Al}_2\text{O}_3 + 0.56 \text{ \%wt. PVP}$	K series	۵۰٫۰۶	۴۲٫۴۴	۷٫۵۰	۱۰۰	۵۸٫۷۱	۳۷٫۳۷	۳٫۹۲	۱۰۰
$\text{Al}_2\text{O}_3 + 0.84 \text{ \%wt. PVP}$	K series	۵۹٫۰۷	۳۷٫۷۰	۳٫۲۳	۱۰۰	۶۶٫۵۱	۳۱٫۸۷	۱٫۶۲	۱۰۰



شکل ۵ تصاویر SEM برای نمونه‌های (الف)  $\text{Al}_2\text{O}_3$ ، (ب)  $\text{Al}_2\text{O}_3 + 0.28 \text{ \%wt PVP}$ ، (پ)  $\text{Al}_2\text{O}_3 + 0.56 \text{ \%wt PVP}$ ، (ت)  $\text{Al}_2\text{O}_3 + 0.84 \text{ \%wt PVP}$

جدول ۳ فاکتورهای زبری سطح برای  $\text{Al}_2\text{O}_3$  و نمونه‌های  $\text{Al}_2\text{O}_3/\text{PVP}$ ، به دست آمده از نرم افزار Nanosurf.

Sample	Area ( $\mu\text{m}^2$ )	$S_a$ (nm)	$S_q$ (nm)	$S_y$ (nm)	$S_p$ (nm)	$S_v$ (nm)	$S_m$ (pm)
$\text{Al}_2\text{O}_3$	۹,۱۱۸	۳۹	۴۹	۳۲۰	۱۸۸	-۱۳۲	۴۶,۰
$\text{Al}_2\text{O}_3 + 0.28 \text{ \%wt PVP}$	۹,۱۱۸	۱۶	۲۱	۱۴۸	۸۷	-۶۱	۰,۴
$\text{Al}_2\text{O}_3 + 0.56 \text{ \%wt PVP}$	۹,۱۱۸	۲۷	۳۴	۲۴۵	۱۳۶	-۱۱۰	۱,۰
$\text{Al}_2\text{O}_3 + 0.84 \text{ \%wt PVP}$	۹,۲۰۴	۲۲	۲۸	۲۴۳	۱۲۷	-۱۱۵	۲۴,۳

شده را روی لامل ریخته و پس از خشک شدن، تصویربرداری کردیم، در جدول ۳ نیز عامل زبری نمونه‌های  $\text{Al}_2\text{O}_3$  و  $\text{Al}_2\text{O}_3/\text{PVP}$  که با نرم‌افزار Nanosurf به دست آمده‌اند نمایش داده شده‌اند [۱۳].

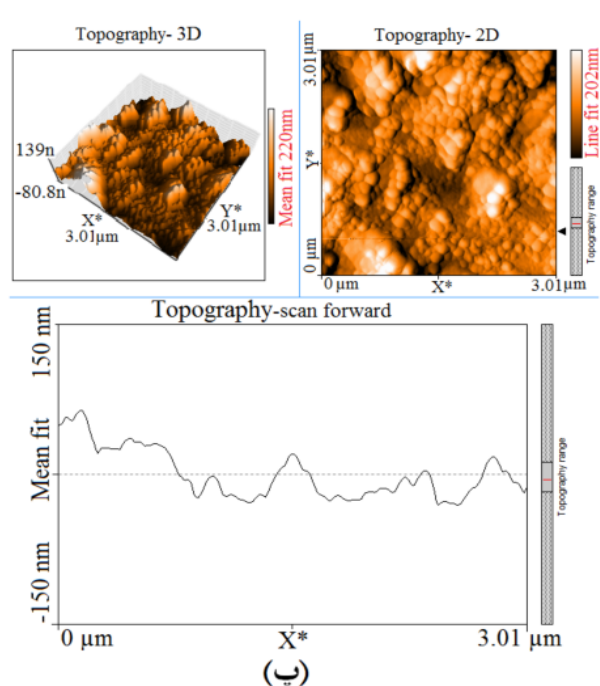
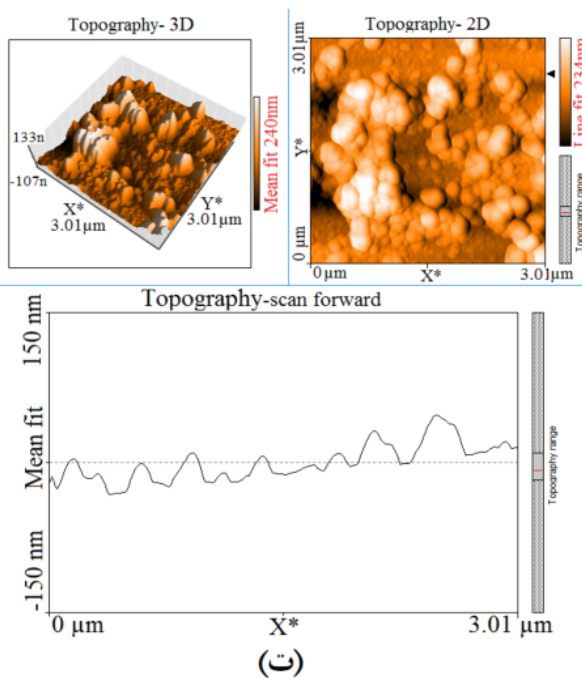
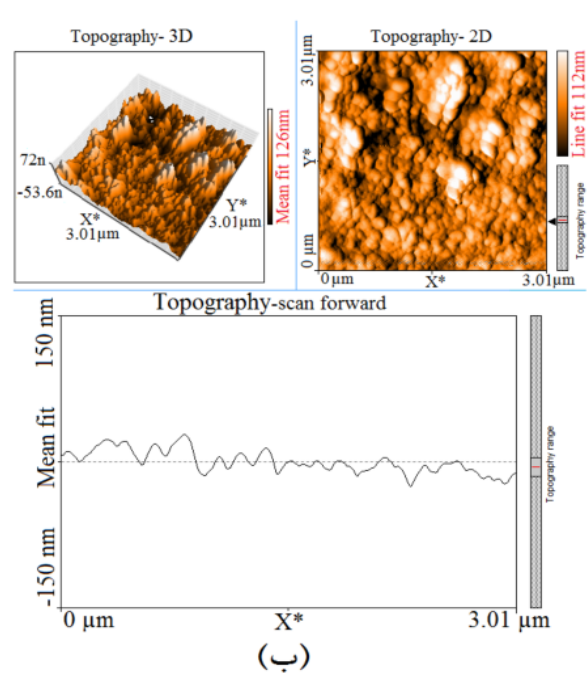
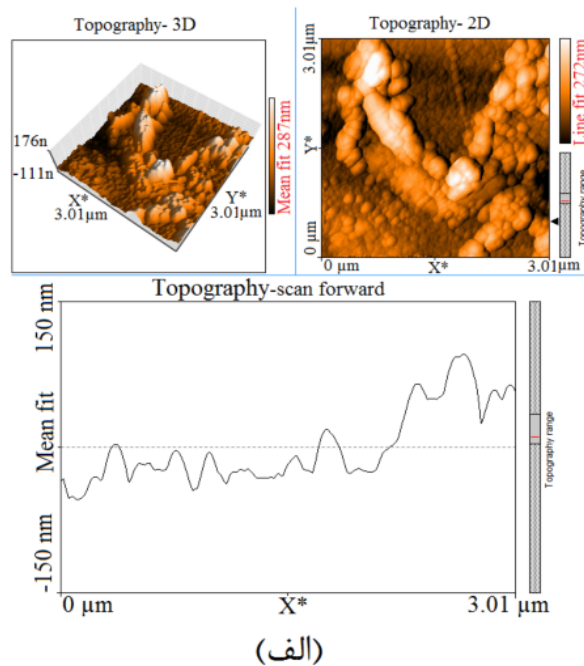
پارامترهای زبری سطح نیز با نرم افزار Nanosurf محاسبه شده‌اند. این پارامترها عبارتند از:  $S_a$ ،  $S_q$ ،  $S_m$ ،  $S_v$ ،  $S_p$  و  $S_y$  (مقدار زبری متوسط) متوسط مجموع فاصله‌ی همه نقاط از

شکل‌های ۶ الف تا ت تصاویر AFM دو بعدی (2D)، سه بعدی (3D) و نیمرخ قائم توپوگرافی وابسته به نانو هم‌نهشت دورگه‌ی  $\text{Al}_2\text{O}_3/\text{PVP}$  و  $\text{Al}_2\text{O}_3$  با غلظت‌های مختلف PVP سنتز شده در دمای ۸۰ درجه‌ی سانتی گراد را نشان می‌دهند. برای تهیه‌ی تصاویر AFM نخست نمونه‌ی پودری را در حلال آن حل کرده تا محلول یک درصدی از آن تهیه شود و پس از همگن سازی به روش فراصوتی، چند قطره از محلول همگن



سنجش؛  $S_p$  (ارتفاع قله) فاصله‌ی بین بالاترین نقطه‌ی سطح مورد سنجش و صفحه‌ی مشروط؛  $S_v$  (ارتفاع قله-دره) فاصله‌ی بین بالاترین ( $S_p$ ) و پایین‌ترین ( $S_v$ ) نقاط صفحه مورد سنجش این پارامترها در جدول ۳ نمایش داده شده‌اند.

سطح مورد سنجش، در جهت عمود بر صفحه وابسته به؛  $S_q$  مقدار ریشه میانگین مربعات؛  $S_m$  (مقدار میانگین زبری) نیز با همان مقدار متوسط مجموع تعریف می‌شود، اما در اینجا مقادیر مثبت یا منفی بردارها در نظر گرفته می‌شوند؛  $S_v$  (عمق دره) فاصله‌ی بین صفحه مشروط و پایین‌ترین نقطه سطح مورد



شکل ۶ تصاویر دو و سه بعدی AFM و بهترین نیمرخ توپوگرافی برای نمونه‌های (الف)  $Al_2O_3$ ، (ب)  $Al_2O_3 + 0.28 \text{ wt\% PVP}$ ، (پ)  $Al_2O_3 + 0.56 \text{ wt\% PVP}$ ، (ت)  $Al_2O_3 + 0.84 \text{ wt\% PVP}$ .

نتایج به دست آمده در جدول ۴، نشان می دهد که ظرفیت (C)، ثابت دی الکتریک (k)، عامل کیفیت ( $Q_F$ )، و عامل اتلاف ( $D_F = I/Q_F$ )، با اضافه کردن PVP در نمونه ها تغییر می کنند. عامل کیفیت بیانگر بازدهی خازن بر حسب اتلاف انرژی است و به صورت ( $Q_F = X_C/R_C$ ) تعریف می شود که در آن  $X_C$  مقاومت القایی و  $R_C$  مقاومت معادل خازن است. بالاترین ثابت دی الکتریک در بسامد 1kHz، وابسته به  $Al_2O_3 + 0.28\% \text{wt. PVP}$  و در بسامد 120kHz وابسته به  $Al_2O_3 + 0.56\% \text{wt. PVP}$  است.

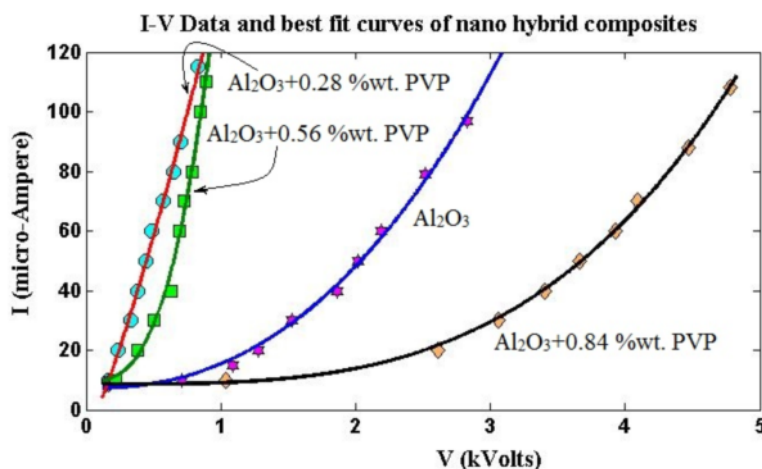
در شکل ۷ داده های I-V و بهترین منحنی های برازش شده به این داده ها آمده اند. مقایسه ی بین منحنی های I-V تفاوت هایی بین نمونه های  $Al_2O_3$  و  $Al_2O_3/PVP$  را نشان می دهند. چنانکه مشاهده می شود، رابطه ی بین I و V خطی نیست (غیر اهمی است). بنابراین شکل، منحنی وابسته به نمونه ی  $Al_2O_3 + 0.28\% \text{wt. PVP}$  در مقایسه با دیگر منحنی ها، رفتار تماس اهمی بیشتری را نشان می دهد.

با توجه به پارامترهای زیر معرفی شده و مقادیر به دست آمده در جدول ۳، مقادیر  $S_p$ ،  $S_v$ ،  $S_q$ ،  $S_a$  و  $S_m$  وابسته به نمونه ی  $Al_2O_3 + 0.28\% \text{wt. PVP}$  کمترین مقدار هستند که به ترتیب برابرند با ۱۶، ۲۱، ۱۴۸ و ۸۷ نانومتر. کمترین اختلاف قله و دره ی ( $S_v$ ) نیز وابسته به همین نمونه است. اما چنانکه در ستون آخر جدول ۳ ملاحظه می شود، مقدار  $S_m$  وابسته به همین نمونه کمترین مقدار و برابر ۰/۴ پیکومتر است. بدین ترتیب با توجه به اینکه زبری در سطح منجر به کاهش تحرک پذیری حامل ها می شود، لذا نمونه ی  $Al_2O_3 + 0.28\% \text{wt. PVP}$  دارای کمترین زبری مناسب ترین سطح است.

برای بررسی خواص الکتریکی نمونه ها، خازن هایی با نانوپودرهای  $Al_2O_3$  و  $Al_2O_3/PVP$  ساخته، و ظرفیت نمونه ها (C) با استفاده از GPS 132 A اندازه گیری شده، و سپس ثابت دی الکتریک (k) با استفاده از فرمول  $k = \frac{Cd}{\epsilon_0 A}$  محاسبه شد. برای قرص های ساخته شده ی ما  $A = 1.13 \text{ cm}^2$  و  $\epsilon_0 = 8.85 \times 10^{-12} \left( \frac{\text{C}^2}{\text{N m}^2} \right)$  و  $d = 2 \text{ mm}$  است.

جدول ۴ نتایج اندازه گیری C، k،  $Q_F$  و  $D_F$  مربوط به  $Al_2O_3$  و نمونه های کامپوزیتی  $Al_2O_3/PVP$  برای فرکانس های ۱ و ۱۲۰ کیلوهرتز، که با استفاده از تکنیک GPS 132 A به دست آمده اند. سطح و ضخامت لایه میانی به ترتیب برابر بودند با ۱۱۳ سانتی متر مربع و ۳ میلی متر.

Samples	Frequency = 1 kHz				Frequency = 120 kHz			
	$Q_F$	$D_F$	C (pF)	K	$Q_F$	$D_F$	C (pF)	K
$Al_2O_3$	۲۶/۱	۰/۰۳۸	۴/۷	۱۴	۵/۰	۰/۱۹۹	۵/۰	۱۵
$Al_2O_3 + 0.28\% \text{wt. PVP}$	۳/۴	۰/۲۹۸	۷/۵	۱۵	۱/۴	۰/۷۰۴	۱۷/۰	۳۵
$Al_2O_3 + 0.56\% \text{wt. PVP}$	۱/۷	۰/۵۹۲	۱۲/۹	۲۶	۵/۱	۰/۱۹۸	۳/۰	۶
$Al_2O_3 + 0.84\% \text{wt. PVP}$	۴/۸	۰/۲۰۸	۶/۲	۱۲	۲/۲	۰/۴۵۷	۸/۰	۱۶



شکل ۷ داده های I-V و منحنی های برازش شده برای نمونه  $Al_2O_3$  و نمونه های کامپوزیتی  $Al_2O_3 + 0.28\% \text{wt. PVP}$ ،  $Al_2O_3 + 0.56\% \text{wt. PVP}$ ،  $Al_2O_3 + 0.84\% \text{wt. PVP}$ .



است؛ و در مقایسه با دی‌اکسید سیلیکون کاهش بیشتری می‌یابد.

$$J_{Al_2O_3+0.28\%wtPVP} \propto \exp\left(\left(\frac{1}{k_{Al_2O_3+0.28\%wtPVP}}\right)^{1/2}\right) \quad (13)$$

در نتیجه، جریان نشتی گذرنده از نمونه  $Al_2O_3+0.28\%wt.$  PVP به طور قابل ملاحظه‌ای کاهش می‌یابد.

#### برداشت

مسائل فراوانی موجب محدودیت در کاهش ضخامت دی‌الکتریک می‌شوند. این محدودیت ناشی از انتشار بور از دی‌الکتریک فرا نازک اکسید سیلیکون است. در این زمینه یک نانو هیبرید کامپوزیتی را پیشنهاد می‌کنیم که می‌توان به وسیله آن این مشکل را حل کرد. ضخامت اکسیدی مؤثر (EOT) وابسته به  $Al_2O_3+0.28\%wt.$  PVP در مقایسه با  $SiO_2$  حدود ۹ برابر است، که موجب کاهش چشمگیر جریان نشتی و جریان‌های تونلی می‌شود. بنابراین،  $Al_2O_3+0.28\%wt.$  PVP، به سبب برخورداری از ثابت دی‌الکتریک بالا و EOT مناسب، کمترین مقادیر زبری، خواص اهمی و I-V مناسب‌تر و کوچکی اندازه نانوبلورک‌ها (قطر شیر برابر با ۴۵ nm)، می‌تواند به عنوان یک جایگزین برای درگاه دی‌الکتریک  $SiO_2$  به کار رود. در نتیجه، نانو دورگه کامپوزیت  $Al_2O_3+0.28\%wt.$  PVP می‌تواند به عنوان یک ماده درگاه دی‌الکتریک برای نسل بعدی OFET معرفی شود.

#### مراجع

- [1] Bahari A., Morgen P., Pederson K., Li Z. S., "Growth of a stacked silicon nitride/silicon oxide dielectric on Si (100)", Vac. Sci. Technol. B 24 (2006) 2119-2123.
- [2] Alagiri M., Ponnusamy S., Muthamizhchelvan C., "Synthesis and characterization of NiO nanoparticles by sol-gel Method", J. Mater. Sci.: Mater. Electron. 23 (2012) 728-732.
- [3] Wu M., Alivov Y. I., Moorkoc H., "High-k dielectrics and advanced channel concepts for Si MOSFET", J. Mater. Sci.: Mater. Electron. 19(2008) 915-951.
- [4] Wilk G.D., Wallance R.M., Anthony J.M., "High-k gate dielectric current status and material properties considerations", J. Appl. Phys., 89 (2001) 5243-5275.
- [5] Wu H., Zhao Y., White M.H., "Quantum mechanical modeling of MOSFET gate leakage for

سطح زیر منحنی‌های I-V وابسته به دی‌الکتریک نانوبلورک‌های  $Al_2O_3/PVP$ ، که می‌توان آن را از طریق روش چرخه ولتاژمتری (C-V) به دست آورد، با توان  $(P = VI)$  متناسب است. میانگین جریان،  $\bar{I}$ ، به صورت زیر به دست می‌آید

$$P = \int Idv \quad (8)$$

$$\bar{I} = \frac{P}{\Delta V} \quad (9)$$

مقادیر بیشتر  $Q_F$  نشان دهنده آهنگ کمتر اتلاف انرژی نسبت به انرژی ذخیره شده در خازن به صورت زیر است:

$$Q_F = 2\pi \frac{\text{انرژی ذخیره شده}}{\text{انرژی تلف شده در هر چرخه}} \quad (10)$$

مقدار  $D_F$  تعریف شده با معادله (۱۱)، آهنگ اتلاف انرژی خازن را می‌دهد و با ماده‌ی دی‌الکتریک به صورت نشان داده شده در جدول ۴ تغییر می‌کند.

$$D_F = 1/Q_F \quad (11)$$

به همین ترتیب، عبارت چگالی جریان بر اساس مدل پُل-فرنکل به صورت زیر نوشته می‌شود [۱۹]:

$$J_{PF} = AT^2 \exp\left(\frac{1}{k_B T} \left[\left(\frac{57.74V}{ka}\right)^{\frac{2}{3}} - \phi_t\right]\right) \quad (12)$$

که در آن  $k$  ثابت دی‌الکتریک،  $d$  فاصله الکترودها بر حسب آنگستروم،  $\phi_t$  عمق چاه پتانسیل تله،  $K_B$  ثابت بولتزمن،  $T$  دمای اندازه‌گیری شده و  $A$  ثابت ریچاردسون است. اندازه‌ی  $A$  برابر با  $120$  به واحد  $A/cm^2 K^2$  است.

نتایج نشان می‌دهند که بیشینه مقدار ثابت دی‌الکتریک با بسامد  $1$  kHz مربوط به نانو دورگه همنهشت  $Al_2O_3+0.56\%wt.$  PVP ( $k=26$ ) و در فرکانس  $120$  kHz مربوط به نمونه دورگه‌ی همنهشت  $Al_2O_3+0.28\%wt.$  PVP ( $k=35$ ) می‌باشد (جدول ۴). این نشان دهنده‌ی وابستگی به بسامد ثابت دی‌الکتریک است که ناشی از زیاد شدن ارتعاش‌های کششی و ارتعاشات پیوندها در نمونه‌ها باشد. بنابر اثر پول-فرنکل، این نمونه‌ها در مقایسه با دیگر نمونه‌ها، دارای کمترین جریان نشتی است و می‌توانند در بسامد وابسته، به عنوان یک دی‌الکتریک درگاه برای OFET پیشنهاد شوند. بعلاوه، ثابت دی‌الکتریک ( $k$ ) وابسته به  $SiO_2$  و  $Al_2O_3+0.28\%wt.$  PVP ترتیب برابر  $k=39/9$  [۲۰] و  $k=39$ ، بنابراین، از معادله‌ی (۱۳) و با چشم‌پوشی از  $\phi_t$ ، می‌توان گفت که جریان نشتی نمونه‌ی  $Al_2O_3+0.28\%wt.$  PVP با  $\exp(1/\sqrt{k})$  که متناسب با

- employing high dielectric constant polymer gate dielectrics", J. Phys. D: Appl. Phys. 43 (2010) 465102 (8pp).
- [14] Chua L., Ho P., Sirringhaus H., Friend R., "Observation of Field-Effect Transistor Behavior at Self-Organized Interfaces", Adv. Mater. 16 (2004) 1609-1615.
- [15] Ramesh S., Ng K. Y., "Characterization of polymer electrolytes based on high molecularweight PVC and  $Li_2SO_4$ ", Current Appl. Phys. 9 (2009) 329-332.
- [16] Unni Narayanan K. N., Dabos-Seignon S., Nunzi J. M., "Improved performance of pentacene field-effect transistors using a polyimide gate dielectric layer", J. Mater.Sci. 41 (2006) 317-322.
- [17] Sirringhaus H., "Device Physics of Solution-Processed Organic Field-Effect Transistors", Adv. Matter. 17 (2005) 2411-2425.
- [18] Steudel S., Vusser S. D., et al. "Influence of the dielectric roughness on the performance of pentacene transistors", Appl. Phys. Lett. 85 (2004) 4400-4402.
- [19] Chang Y., Yang W., Liu S., Hsiao Y., Wu J., Wu C., "A hot hole-programmed and low-temperature-formed SONOS flash memory", Nanoscale Res. Lett. 8 (2013) 340.
- [20] Ortiz R. P., Facchetti A., Marks T. J., "High- $k$  organic, inorganic, and hybrid dielectrics for low-voltage organic field-effect transistors", Chem. Rev. 110 (2010) 205-239.
- high - $k$  gate dielectric", Solid -State Electron, 50 (2006) 1164-1169.
- [6] Deman A., Tardy J., "PMMA-Ta 2 O 5 bilayer gate dielectric for low operating voltage organic FETs", Org. Electron. 6 (2005) 78-84.
- [7] Jeong S. H., Bae I.S., Shin Y.S., Lee S. B., Kwak H.T., Boo J.H., "Physical and electrical properties of  $ZrO_2$  and YSZ high- $k$  gate dielectric thin films grown by RF magnetron sputtering" Thin Solid film. 475 (2005) 354-358.
- [8] Rudramadevi B. H., Thilagavathi K., Buddhudu S., "Structural, dielectric and conductivity properties of  $Mn^{2+}$ :PVP &  $Ni^{2+}$ :PVP polymer films", Indian J.Phys. 86 (2012) 997-1001.
- [9] Maria Sonmez et al. "Synthesis and characterization of hybrid PVA/ $Al_2O_3$  thin film", Materials Letters 74 (2012) 132-136 .
- [10] Liu H., Xie Z. X., Watanabe H., Qu J., Tanaka K., "Growth of nanocrystalline metal dots on the Si(111)- $7\times 7$  surface saturated with  $C_2H_5OH$ ", Phys. Rev. B. 601 (2007) 5093-5097.
- [11] Bang Seokhwan et al., " $Al_2O_3$  buffer in a ZnO thin film transistor with poly-4-vinylphenol dielectric", Semicond. Sci. Technol. 24 (2009) 025008 (6pp).
- [12] Hayati A., Bahari A., "Electrical properties of NiO/PVC nano hybrid composites for organic field effect transistors", Indian J. Phys. 89 (2015) 145-54 .
- [13] Kim S. H., et al., "Hysteresis behaviour of low-voltage organic field-effect transistors